

最小제곱法에 의한 TRAVERSE網의 理論的 調整法 A Study on the Theoretical Adjustment of Traverse Networks by the Method of Least Squares

李啓鶴* · 成水鍊** · 朴福奉***

Lee, Kye-Hak · Sung, Soo-Lyeon · Park, Bok-Bong

要 旨

本研究에서는 traverse測量에 있어서 여러 개의 環으로 이루어진 網을 測角과 測距의 重量을 同時に 考慮하여 精密하게 調整할 수 있는 理論的 調整法을 提示하였다. 또한, 本 理論的 調整法으로 調整한 角과 距離를 다른 調整法들과 比較 檢討한 結果 本 理論的 調整法의 妥當性이 立證되었다.

ABSTRACT

This paper dealt with the theoretical adjustment of the closed nets with the various links by weight of the observed angles and distances. In addition to the results of checking between this theoretical adjustment method, the compass rule and transit rule, the theoretical adjustment method is more accurate than other adjustments.

1. 序 論

從來, Traverse測量의 閉合誤差는 普通 compass 및 transit rule로 調整해 왔다. 또한 traverse測量에서 發生하는 閉合誤差는 測角과 測距의 重量을 相對的 으로 決定하여 그들의 重量을 考慮한 調整法이 既存의 調整法보다 精密하게 調整할 수 있다는 理論的 調整法도 既히 發表한 바 있다.^{1,3)}

本研究에서는 最近에 導入한 Electronic Total Station (Set 3)으로 觀測한 data를 가지고 最小제곱法을 利用하여 測角과 測距의 重量을 同時に 考慮한 여러 環狀의 traverse網을 精密히 調整할 수 있는 理論的 調整法을 提示하였다.

따라서 本 理論的 調整法으로 調整한 結果값을 다른 compass, transit rule로 調整한 角과 距離들과 比較 檢討함으로써 本 理論的 調整法의 信賴性을 檢討하였다.

2. 基本 理論

2.1 角의 閉合誤差 調整

Traverse網을 形成하고 있는 각 traverse環마다 内(外)角의 總合에 대한 角의 閉合誤差를 d_i , 各 角에 實施하는 全體調整量을 z , 角의 重量을 q 라 하면, 各環에 대한 條件式 $[z]_i + d_i = 0$ 을 滿足하게 $[qz^2]$ 을 最小로 하는 z 를 求한다.^{4,5)}

例를 들면, 그림 1과 같은 경우는 I~IV의 各環에 대해서 角의 閉合誤差 $d_I \sim d_{IV}$, I~IV 環에 關한 未定係數를 各各 $K_I \sim K_{IV}$ 라 하여 다음 式을 最小로 하는 z 를 求하면 된다.

$$S = [qz^2] - 2K_I\{[z]_I + d_I\} - 2K_{II}\{[z]_{II} + d_{II}\} \quad (1) \\ - 2K_{III}\{[z]_{III} + d_{III}\} - K_{IV}\{[z]_{IV} + d_{IV}\}$$

2.2 緯·經距의 閉合誤差 調整

前項에서 調整된 角을 利用하여 計算한 方位角을 θ , 測定距離를 l 이라 하면, 各 traverse環에 대한 緯·經距의 閉合誤差 d_i (緯距誤差), d'_i (經距誤差)는 各各 $[l \cos \theta]_i = d_i$, $[l \sin \theta]_i = d'_i$ 로 求한다.⁶⁻⁹⁾

*湖南大學校 工科大學 土木工學科 教授

**全南大學校 大學院 土木工學科 博士課程

***湖南大學校 大學院 土木工學科 碩士課程

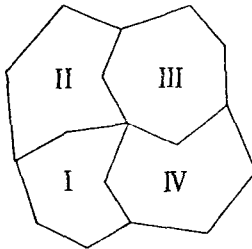


그림 1. Traverse 網圖

지금 l 및 θ 의 調整量을 x, y 라 하면 最確值는 $(l+x), (\theta+y)$ 가 되므로 高次의 微分項을 省略하면 各環에 대하여

$$\begin{aligned} [x \cos \theta]_i - [ly \sin \theta]_i + d_i &= 0 \\ [x \sin \theta]_i - [ly \cos \theta]_i + d_i &= 0 \end{aligned} \quad (2)$$

의 條件式이) 얻어지고, 測定角誤差 y 에 의한 測點의 偏位量은 $(l+x)y \approx ly$ 므로 ly 의 重量을 r 이라 하면, $(ly)^2$ 에 反比例 한다. 또한, 全測定角誤差를 δ , 精度(閉合比)를 A , 測定距離를 l 라 하면 角測定值의 重量 q 는 다음 식 (3)으로 表示된다.^{10,11)}

$$q = \frac{A^2}{l \times \left(\frac{\delta}{206265}\right)^2} \quad (3)$$

그런데, 距離 그리고 角測定值의 重量 p 및 q 에 利用되는 要素는 測定距離 l , 精度 A 으로 r 을 q, l 및 A 로 정리하면 式 (4)와 같다.^{12,13)}

$$r/q \left\{ \frac{p}{(Al)} \right\}^2 = \frac{q}{(Al)^2} \quad (4)$$

여기서, 距離測定值의 重量 $p, (ly)$ 의 重量을 r 이라 하면 最小제곱法에 의해 위의 式 (2)의 條件 下에 $[p x^2] + [r (ly)^2]$ 을 最小로 하는 x, y 를 求하면 된다.

I~IV의 各環에 대한 縱距·經距의 閉合誤差 ($d_1, d_2, d_3, d_4, d_5, d_6, d_7, d_8$)을 求하기 위해 各環에 關한 未定係數를 各各 (K_1, K_2), (K_3, K_4), (K_5, K_6), (K_7, K_8)라 하면

$$\begin{aligned} S &= [p x^2] + [r (ly)^2] \\ &- 2K_1\{[x \cos \theta] - [ly \sin \theta] + d_1\} \\ &- 2K_2\{[x \sin \theta] + [ly \cos \theta] + d_2\} \\ &- 2K_3\{[x \cos \theta] - [ly \sin \theta] + d_3\} \\ &- 2K_4\{[x \sin \theta] + [ly \cos \theta] + d_4\} \\ &- 2K_5\{[x \cos \theta] - [ly \sin \theta] + d_5\} \\ &- 2K_6\{[x \sin \theta] + [ly \cos \theta] + d_6\} \\ &- 2K_7\{[x \cos \theta] - [ly \sin \theta] + d_7\} \\ &- 2K_8\{[x \sin \theta] + [ly \cos \theta] + d_8\} \end{aligned} \quad (5)$$

와 같아 된다.

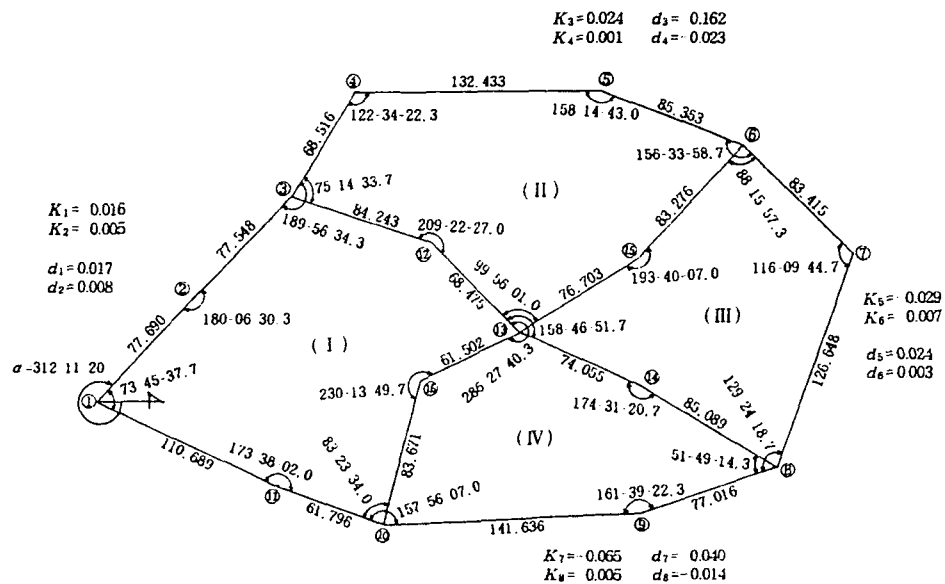


그림 2. 觀測 traverse 網圖

다음 그림 2에서 第 1環의 x, y값을 計算하면 式 (6), (7), (8)과 같고,

$$\begin{aligned} \cdot \text{測點 } 10 \sim 2 : x_i &= \frac{\cos\theta_i}{p_i} K_1 + \frac{\sin\theta_i}{p_i} K_2, \\ y_i &= -\frac{\sin\theta_i}{r_i l_i} K_1 + \frac{\cos\theta_i}{r_i l_i} K_2 \end{aligned} \quad (6)$$

· 测點 3~12 :

$$\begin{aligned} x_i &= \frac{\cos\theta_i}{p_i} (K_1 - K_3) + \frac{\sin\theta_i}{p_i} (K_2 - K_4) \\ y_i &= -\frac{\sin\theta_i}{r_i l_i} (K_1 - K_3) + \frac{\cos\theta_i}{r_i l_i} (K_2 - K_4) \end{aligned} \quad (7)$$

· 测點 13~16 :

$$\begin{aligned} x_i &= \frac{\cos\theta_i}{p_i} (K_1 - K_7) + \frac{\sin\theta_i}{p_i} (K_2 - K_8) \\ y_i &= -\frac{\sin\theta_i}{r_i l_i} (K_1 - K_7) + \frac{\cos\theta_i}{r_i l_i} (K_2 - K_8) \end{aligned} \quad (8)$$

같은 方法으로 第 2環, 第 3環, 第 4環의 x, y값도 計算할 수 있다. 즉, 第 2環의 x, y값은

$$\begin{aligned} \cdot \text{測點 } 3 \sim 5 : x_i &= \frac{\cos\theta_i}{p_i} K_3 + \frac{\sin\theta_i}{p_i} K_4, \\ y_i &= -\frac{\sin\theta_i}{r_i l_i} K_3 + \frac{\cos\theta_i}{r_i l_i} K_4 \end{aligned} \quad (9)$$

· 测點 6~15 :

$$\begin{aligned} x_i &= \frac{\cos\theta_i}{p_i} (K_3 - K_5) + \frac{\sin\theta_i}{p_i} (K_4 - K_6) \\ y_i &= -\frac{\sin\theta_i}{r_i l_i} (K_3 - K_5) + \frac{\cos\theta_i}{r_i l_i} (K_4 - K_6) \end{aligned} \quad (10)$$

· 测點 13~12 :

$$\begin{aligned} x_i &= \frac{\cos\theta_i}{p_i} (K_3 - K_1) + \frac{\sin\theta_i}{p_i} (K_4 - K_2) \\ y_i &= -\frac{\sin\theta_i}{r_i l_i} (K_3 - K_1) + \frac{\cos\theta_i}{r_i l_i} (K_4 - K_2) \end{aligned} \quad (11)$$

第3環의 x, y값은

$$\begin{aligned} \cdot \text{測點 } 6 \sim 7 : x_i &= \frac{\cos\theta_i}{p_i} K_5 + \frac{\sin\theta_i}{p_i} K_6, \\ y_i &= -\frac{\sin\theta_i}{r_i l_i} K_5 + \frac{\cos\theta_i}{r_i l_i} K_6 \end{aligned} \quad (12)$$

· 测點 8~14 :

$$\begin{aligned} x_i &= \frac{\cos\theta_i}{p_i} (K_5 - K_7) + \frac{\sin\theta_i}{p_i} (K_6 - K_8) \\ y_i &= -\frac{\sin\theta_i}{r_i l_i} (K_5 - K_7) + \frac{\cos\theta_i}{r_i l_i} (K_6 - K_8) \end{aligned} \quad (13)$$

· 测點 13~15 :

$$\begin{aligned} x_i &= \frac{\cos\theta_i}{p_i} (K_5 - K_3) + \frac{\sin\theta_i}{p_i} (K_6 - K_4) \\ y_i &= -\frac{\sin\theta_i}{r_i l_i} (K_5 - K_3) + \frac{\cos\theta_i}{r_i l_i} (K_6 - K_4) \end{aligned} \quad (14)$$

第4環의 x, y값은

$$\begin{aligned} \cdot \text{測點 } 8 \sim 9 : x_i &= \frac{\cos\theta_i}{p_i} K_7 + \frac{\sin\theta_i}{p_i} K_8, \\ y_i &= -\frac{\sin\theta_i}{r_i l_i} K_7 + \frac{\cos\theta_i}{r_i l_i} K_8 \end{aligned} \quad (15)$$

· 测點 10~15 :

$$\begin{aligned} x_i &= \frac{\cos\theta_i}{p_i} (K_7 - K_1) + \frac{\sin\theta_i}{p_i} (K_8 - K_2) \\ y_i &= -\frac{\sin\theta_i}{r_i l_i} (K_7 - K_1) + \frac{\cos\theta_i}{r_i l_i} (K_8 - K_2) \end{aligned} \quad (16)$$

· 测點 13~14 :

$$\begin{aligned} x_i &= \frac{\cos\theta_i}{p_i} (K_7 - K_5) + \frac{\sin\theta_i}{p_i} (K_8 - K_6) \\ y_i &= -\frac{\sin\theta_i}{r_i l_i} (K_7 - K_5) + \frac{\cos\theta_i}{r_i l_i} (K_8 - K_6) \end{aligned} \quad (17)$$

과 같다.

이 경우 未定係數를 求하는 正規方程式은 다음 式 (18)과 같고,

$$\begin{aligned} A_1 K_1 + B_1 K_2 - a_{1 \cdot 11} K_3 - b_{1 \cdot 11} K_4 - a_{1 \cdot IV} K_7 - b_{1 \cdot IV} K_8 + d_1 &= 0 \\ B_1 K_1 + C_1 K_2 - b_{1 \cdot 11} K_3 - c_{1 \cdot 11} K_4 - b_{1 \cdot IV} K_7 - c_{1 \cdot IV} K_8 + d_2 &= 0 \\ A_{II} K_3 + B_{II} K_4 - a_{1 \cdot II} K_1 - b_{1 \cdot II} K_2 - a_{II \cdot III} K_6 - b_{II \cdot III} K_6 + d_3 &= 0 \\ B_{II} K_3 + C_{II} K_4 - b_{1 \cdot II} K_1 - c_{1 \cdot II} K_2 - b_{II \cdot III} K_6 - c_{II \cdot III} K_6 + d_4 &= 0 \\ A_{III} K_5 + B_{III} K_6 - a_{II \cdot III} K_3 - b_{II \cdot III} K_4 - a_{III \cdot IV} K_7 - b_{III \cdot IV} K_8 + d_5 &= 0 \\ B_{III} K_5 + C_{III} K_6 - b_{II \cdot III} K_3 - c_{II \cdot III} K_4 - b_{III \cdot IV} K_7 - c_{III \cdot IV} K_8 + d_6 &= 0 \\ A_{IV} K_7 + B_{IV} K_8 - a_{I \cdot IV} K_1 - b_{I \cdot IV} K_2 - a_{IV \cdot V} K_5 - b_{IV \cdot V} K_6 + d_7 &= 0 \\ B_{IV} K_7 + C_{IV} K_8 - b_{I \cdot IV} K_1 - c_{I \cdot IV} K_2 - b_{IV \cdot V} K_5 - c_{IV \cdot V} K_6 + d_8 &= 0 \end{aligned} \quad (18)$$

$$A, a = \left[\frac{\cos^2\theta}{p} \right] + \left[\frac{\sin^2\theta}{r} \right]$$

여기서, $B, b = \left[\frac{\sin\theta \cos\theta}{p} \right] - \left[\frac{\sin\theta \cos\theta}{r} \right]$

$$C, c = \left[\frac{\sin^2\theta}{p} \right] + \left[\frac{\cos^2\theta}{r} \right]$$

위의 A, B, C는 그環全體에 대해서, a, b, c는 그環과隣接環과의共通部分에 대해서의값을合算한 것이다.

따라서 위式(18)의正規方程式을풀어各環의未定係數 $K_1, K_2, K_3, K_4, K_5, K_6, K_7, K_8$ 을求한 다음距離 l 및方位角 θ 의調整量 x, y를求한다.

3. 試験観測 및 調整量 比較

3.1 観測器種 및 方法

本研究에서는 그림2와 같은閉合traverse를 1993年8月21日~22日 全南高興公設運動場新設敷地에設置하고, 日產Sokkisha製 Electronic Total Stations (Set 3)를 使用하여測線距離를 90~150m範圍로觀測하였다.

또한, 角은觀測對回를 正反으로 하여3倍角으로觀測하였고, 觀測距離는 6回觀測하여平均値을取하였으며, 氣象補正에 있어서는 760mmHg, 30°C에對한氣象補正値 18ppm으로補正하여測定하였다.¹⁴⁾

3.2 3가지 調整法의 調整量 比較

只今, 그림2와 같은閉合traverse를觀測하여 (1)本方法, (2) compass法則, (3) transit法則의 3가지方法으로調整한調整量을表1에 나타냈다.

또한, 各調整法에 의한距離 및 角의調整量을比較하면 그림3 및 그림4와 같다. 그림4에 나타난 바와같이 本理論的調整法에 의한角調整量은 거의0에接近함을 알수있다. 따라서 traverse測量의誤差調整에 있어서距離 및 角의重量을考慮한 本理論的調整法이在來의 compass 및 transit法則보다도 더信賴性이 높다고思料된다.

4. 結論

本研究에 있어서測距와測角의重量을考慮한

표 1. 各調整法에 의한距離 및 角의調整量

測點	距離(mm)			角(sec)		
	(1)	(2)	(3)	(1)	(2)	(3)
1	0	-2	-9	0.8	-19.3	-13.5
2	16	-10	-10	-0.2	-20.2	-14.4
3	-24	-8	-6	0.2	-24.3	-12.5
4	-12	-21	-26	-0.6	4.7	0.0
5	-22	-12	-14	-0.4	17.4	20.1
6	29	-8	-7	0.2	26.6	26.6
7	19	10	9	0.7	29.1	9.0
8	45	13	14	2.2	5.8	7.7
9	63	22	-62	0.4	-3.7	-3.2
10	17	9	11	0.1	-17.7	-16.7
11	16	15	17	-0.1	-17.1	-21.2

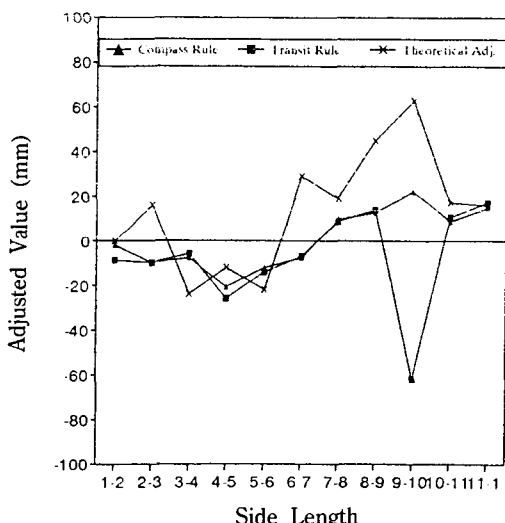


그림 3. 各調整法에 의한距離調整量

여러環으로 이루어진traverse網을最小제곱法으로調整한結果 다음과 같은結論을얻을수있었다.

1. 本調整法에依하면距離의調整量은 다른調整法(compass, transit rule)과 거의비슷하나, 角의調整量은微小한値으로나타났다.

2. 本方法은角의調整量이微小하므로座標軸의方向에는 거의變化가없지만, 다른方法은座標軸의方向이變하므로調整量도變한다.

따라서, 1等多角測量, 廣範圍의多角測量등을이方法에의해서調整하면信賴性이높은精度를期待할수있다.

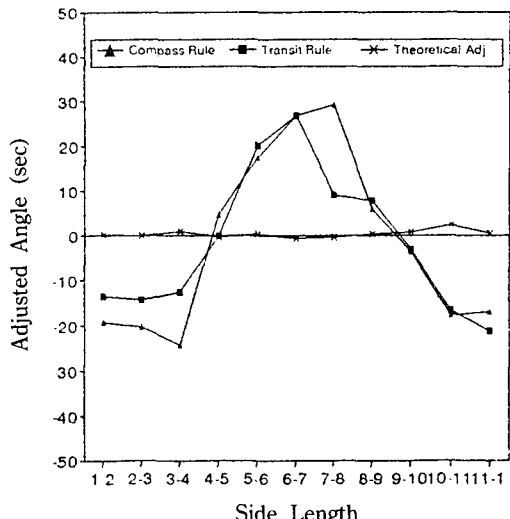


그림 4. 각 調整法에 의한 角 調整量

参考文献

1. 李啓鶴, “測角과 测距을 考慮한 閉合트래버스網의 同時調整”, 韓國測地學會誌, 第 8 卷, 第 1 號, pp. 51-56, 1990.
2. 李啓鶴 外 2 人, “Traverse 測量에 있어서 閉合誤差의 理論的 調整”, 韓國測地學會誌, 第 8 卷, 第 2 號, pp. 31-34, 1990.
3. 李啓鶴, “閉合 Traverse 測量에서 誤差配分에 關한 研究”, 全南大 工技研誌, 第 5 輯, pp. 121-127, 1969.
4. 石川甲子男 外 2 人, 測量の爲ための最小二乗法, 實教出版, pp. 115-118, 1982.
5. Edward M. Mikhail, “Observations and Least Squares”, Thomas Y. Crowell Company, pp. 3-70, 1976.
6. Kissam, P., Surveying for Civil Engineers, 2nd ed., McGraw-Hill, pp. 140-142, 1981.
7. Davis R. E. et al., Surveying Theory and Practice, 6th ed., McGraw-Hill, pp. 254-257, 1981.
8. 春日屋伸昌, 測量學 I, 朝倉書店, pp. 144-162, 1978.
9. 岡積 滿 外 1 人, “測量の視準誤差について”, 日本土木學會 學術講演會 概要集, pp. 116, 1-2, 1965.
10. 龜田和昭, “角測定值の誤差について” 日本大學工學部 學術講演會 論文集, pp. 87-88, 1973.
11. 齊藤暢夫, 測量誤差の處理法, 日本測量協會, pp. 100-101, 1978.
12. 日本測量協會, 現代測量學-3. 一般測量-, pp. 299-302, 1982.
13. 李啓鶴, “水平角 觀測值의 誤差에 關한 考察”, 全南大 工技研誌, 第 13 輯, pp. 113-122, 1977.
14. 李啓鶴, “電磁波測距儀의 特性과 利用에 關하여”, 全南大 工技研誌, 第 17 輯, pp. 107-126, 1980.